

Verruiming Westerschelde

Projectgroep flexibel storten

Vergadering 22 juni 2021
(Teleconferencing via Teams)

Toetsing kwaliteitsparameters 2021 monitoring 2019-2020

| Genodigden: | | Aanwezig | Verontschuldigd |
|-------------|------------------------|----------|-----------------|
| Trekker MT | Jürgen Suffis | x | |
| Trekker RWS | Jeroen van Berge | x | |
| IMDC | Aline Pieterse | x | |
| IMDC | Gijsbert van Holland | x | |
| IMDC | Sarah Berben | x | |
| INBO | Alexander Van Braeckel | | x |
| INBO | Gunther Van Ryckegem | x | |
| LVN | Klaske de Graaf | x | |
| MT | Frederik Roose | x | |
| MT | Eline Van Malderen | x | |
| NIOZ | Daphne van der Wal | | x |
| RWS | Ad Stolk | x | |
| RWS | Marco Schrijver | x | |
| WL | Yves Plancke | x | |

Dit verslag vormt de toetsing van kwaliteitsparameters door het overleg Flexibel Storten op basis van de monitoringsresultaten die verzameld zijn in 2019 en 2020 door zowel Rijkswaterstaat als de Vlaamse Overheid. Een bundeling van de data of verwijzing naar de betreffende bronrapporten is beschreven in het statusrapport, opgemaakt door IMDC, opgenomen als bijlage 5.

De toetsing is gebaseerd op de kwaliteitsparameters, opgenomen in het [protocol Flexibel storten](#). Deze parameters zijn afkomstig uit het Milieueffectrapport en de Passende beoordeling en hebben betrekking op:

- De stabiliteit van het meergeulensysteem;
- Het behoud van ecologisch belangrijke gebieden;
- De uitbreiding van laagdynamisch ondiep en droogvallend gebied langs de plaatranden.

De kwaliteitsparameters zijn een goede indicator van het natuurlijk systeem in de Westerschelde. Het flexibel storten kan worden toegepast als aan de criteria uit het protocol voor de kwaliteitsparameters, en aan het beslisproces beschreven in het Tracébesluit, is voldaan.

1. Criterium instandhouding meergeulenstelsel

De resultaten betreffende het criterium instandhouding meergeulenstelsel staan in het rapport "Monitoring meergeulensysteem Westerschelde – Toetsing nevengeulen op criterium watervolume - Rapport 7210A/MMGW-2021-01", opgesteld door ir. M. Schrijver van Rijkswaterstaat Zee en Delta (opgenomen als bijlage 1).

Opgemerkt wordt dat de begrenzing van de nevengeul van macrocellen 1, 4 en 5 een deel van de plaatrandstortzone omvat. Dit is door het overleg Flexibel Storten in 2012 voorgelegd aan de Commissie Monitoring Westerschelde. Op basis van hun advies is besloten de ligging van de rekenvakken niet aan te passen.

1.1 Overzicht evolutie watervolume nevengeulen

De evolutie van de watervolumes onder -5 m NAP in de nevengeulen is weergegeven in Tabel 1. Onderschrijdingen van de 5-jaar waarschuwingsgrens worden oranje gemarkeerd, van de 5-jaar ondergrens rood.

Tabel 1 - Watervolumes nevengeulen in functie van de grenswaarden (volumes in miljoen m³; Rapport Monitoring meergeulensysteem Westerschelde – Toetsing nevengeulen op criterium watervolume – Rijkswaterstaat Zee en Delta, Rapport 7210A/MMGW-2021-01)

| MC | Volume 2010 | Waarschuwingsgrens | | Ondergrens | | Volume 2019 | Volume 2020 | 2020-2010 | 2020-2019 |
|----|-------------|--------------------|---------|------------|---------|-------------|-------------|-----------|-----------|
| | | 5 jaar | 10 jaar | 5 jaar | 10 jaar | | | | |
| 1 | 206,59 | 204,00 | 204,15 | 202,89 | 202,61 | 206,07 | 205,86 | -0,73 | -0,21 |
| 3 | 212,62 | 206,08 | 200,75 | 204,44 | 197,79 | 211,70 | 211,33 | -1,29 | -0,37 |
| 4 | 83,56 | 79,81 | 80,41 | 75,16 | 72,77 | 75,09 | 75,29 | -8,27 | 0,20 |
| 5 | 32,04 | 28,88 | 28,83 | 27,83 | 27,62 | 27,94 | 28,24 | -3,80 | 0,31 |
| 6 | 6,23 | 4,59 | 3,25 | 4,18 | 2,51 | 6,99 | 6,89 | 0,66 | -0,10 |
| 7 | 5,82 | 5,78 | 5,81 | 5,65 | 5,69 | 5,75 | 5,90 | 0,08 | 0,15 |

De Schaar van de Spijkerplaat (MC1), Everingen (MC3) en nevengeul aan Schaar van de Noord (MC6) zien een (beperkte) afname van het watervolume. Voor de overige nevengeulen neemt het watervolume toe.

Een bespreking per macrocel is opgenomen in volgende paragrafen.

1.2 Bespreking per macrocel

1.2.1 Macrocel 1 - Schaar van de Spijkerplaat (SN11)

Het watervolume is marginaal afgenomen met 0,21 Mm³ maar ligt nog steeds boven de waarschuwingsgrens van 204 Mm³. Er is geen actie nodig.

De kantelindex is stabiel.

De bathymetrische verschilkaart toont duidelijk de baggeracties die uitgevoerd zijn binnen Schaar van de Spijkerplaat in functie van de aanleg van de nieuwe kabels van Borssele naar het windmolenpark in de Noordzee. Op basis van de meerjarige verschilkaart kan afgeleid worden dat het cyclisch patroon van ontstaan en noordwaartse migratie van de

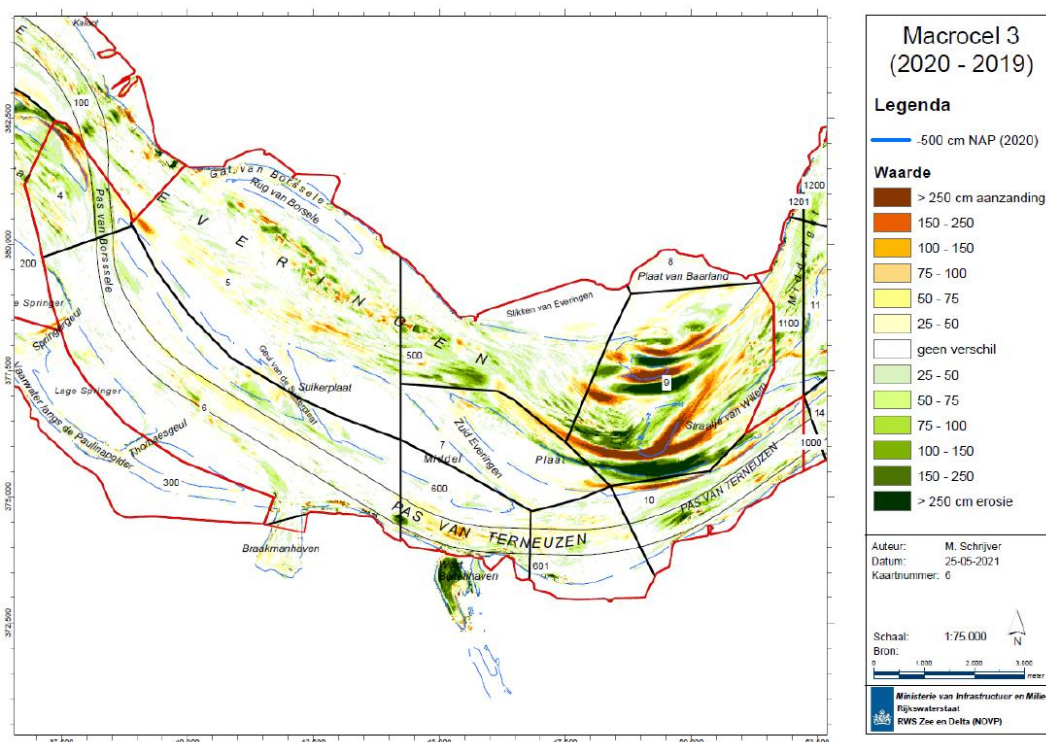
schaar doorheen de Schaar van HPN naar Spijkerplaat bevestigd wordt. De verdere verondieping van het vaarwater langs de Hoofdplaat valt op. RWS geeft aan dat deze situatie stilaan problematisch wordt voor het scheepvaartverkeer.

Er wordt besloten verder te blijven storten in het vloedgedomineerde (noordwestelijke) deel van het stortvak SN11 en op HPW.

1.2.2 Macrocel 3 – Everingen (SN31)

Het watervolume van de nevengeul is opnieuw afgenomen t.o.v. het voorgaande jaar, maar ligt nog boven de waarschuwingsgrens. De afname is evenwel minder sterk dan het vorige jaar (-0,37 Mm³ t.o.v. -0,58 Mm³). Er is geen actie nodig. Verder analyse en opvolging van deze afname is aangewezen.

Figuur 1 geeft een beeld van de sedimentatie-erosiepatronen t.o.v. de voorgaande vakloeding en de ligging van de rekenvakken. Tussen de Middelpaalt en het Middelgat (vak 9) was het gebied opnieuw zeer dynamisch het voorbije jaar wat resulteert in sterke erosie-sedimentatiepatronen. Het grootste verlies aan watervolume werd opnieuw in dit rekenvak vastgesteld. Het vak 5 vertoonde eveneens afname in watervolume maar dit werd ruimschoots gecompenseerd door de toename in vak 500.



Figuur 1 - rekenvakken criteria watervolume nevengeulen MC3 (Schrijver M., 2021, Monitoring meergeulensysteem Westerschelde, Toetsing nevengeulen op criterium watervolume. Rijkswaterstaat Zee en Delta)

Het overleg besluit dat SN31 verder benut kan worden als stortzone. De specie wordt binnen SN31 verspreid tussen de noordzijde van de Suikerplaat en het centrale deel.

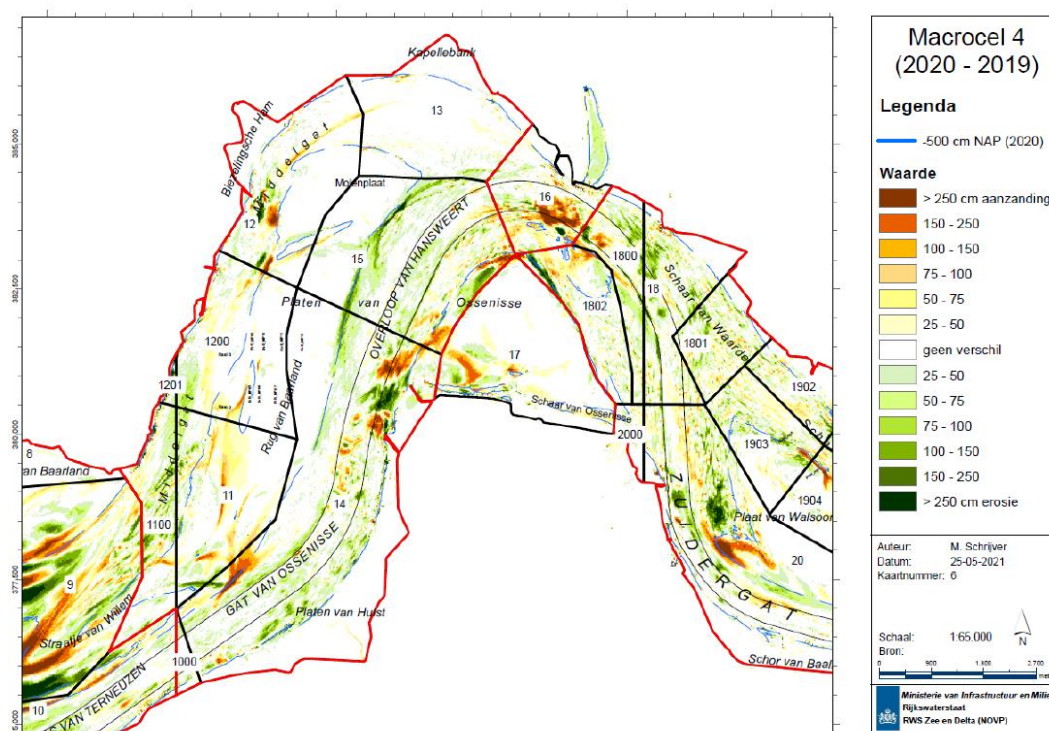
1.2.3 Macrocel 4 - Middelgat (SN41)

De langjarige dalende trend van het watervolume in de nevengeul van macrocel 4 (Middelgat) is sinds 2015 gestopt. Het watervolume nam sinds vorig jaar toe, al is het een zeer beperkte stijging (0,2 Mm³ t.o.v. volume van 75,09 Mm³ in 2019). Het watervolume blijft stijgt boven de ondergrens maar blijft onder de waarschuwingsgrens.

De kantelindex is stabiel. Er werd niet gestort in het Middelgat en aan de Rug van Baarland.

Figuur 2 geeft een beeld van de aangezande en geërodeerde zones. Erosie in het zuidelijk deel van Middelgat valt terug op, net als de sedimentatie t.h.v. westflank en het zuidelijk punt van de Rug van Baarland. Het uitbochten van de vloedgeul is zichtbaar in de verschilkaarten door een duidelijk waarneembare erosie aan de noordoostelijke rand van de plaat. Ter hoogte van gebruikte stortvakken in SH41 vallen de sedimentbewegingen op. Binnen Put van Hansweert treedt erosie op. Dit is mogelijk het gevolg van een plaatval of de vroeger uitgevoerde proefstorting. Ook aan de westzijde van de Molenplaat en noordwestelijke hoek van de Rug van Baarland vallen enkele plaatvallen op.

Omdat het criterium onder de waarschuwingsgrens ligt, wordt terug besloten om niet te storten in het Middelgat.



Figuur 2 - rekenvakken criteria watervolume nevengeulen MC4 (Schrijver M. , 2021, Monitoring meergeulensysteem Westerschelde, Toetsing nevengeulen op criterium watervolume. Rijkswaterstaat Zee en Delta)

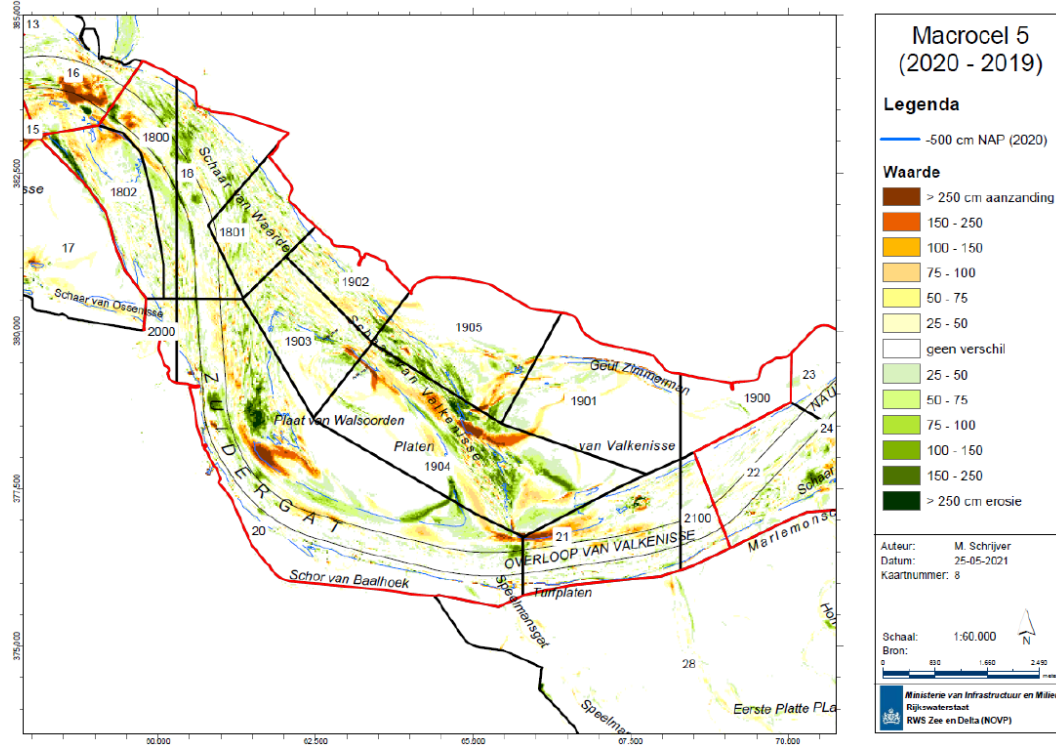
1.2.4 Macrocel 5 - Schaar van Waarde (SN51)

Het watervolume is beperkt toegenomen en blijft dus boven de ondergrens maar nog steeds onder de waarschuwingsgrens. In de periode 2013 t.e.m. 2020 werd hier niet meer

gestort. Het effect hiervan weerspiegelt zich nog steeds niet in een sterke toename van het watervolume van deze nevengeul. De kantelindex blijft stabiel.

De verschilgrids tonen aan dat voornamelijk de Schaar van Valkenisse en het gebied ter hoogte van de zuidwestelijke zand tong nog steeds vrij dynamisch zijn. Aan de ingang van de Schaar van Waarde erodeert het gebied verder. De oostzijde van de Plaat van Walscoorden breidt enerzijds uit maar de zuidoostelijke plaatpunt erodeert verder. De stortingen aan de westelijke flank van de plaatpunt resulteren in zandverplaatsingen in het gebied tussen de plaat en de zuidwestelijke zand tong. De Zimmermangeul blijft verder sedimenteren.

Figuur 3 geeft een beeld van de sedimentatie- en erosieprocessen die zich de voorbije periode hebben voorgedaan.



Figuur 3 - rekenvakken criteria watervolume nevengeulen MC5 (Schrijver M. , 2021, Monitoring meer-geulensysteem Westerschelde, Toetsing nevengeulen op criterium watervolume. Rijkswaterstaat Zee en Delta)

Het overleg besluit dat stortingen in deze nevengeul ook in het volgende jaar niet uitgevoerd kunnen worden.

1.2.5 Macrocel 6 - Schaar van de Noord (SN61)

Het watervolume is opnieuw beperkt afgenomen (-0,10 Mm³) maar ligt steeds boven de waarschuwingsgrens. Er is geen actie nodig.

De kantelindex blijft stabiel.

Gezien de precare situatie m.b.t. de diepgang van Schaar van de Noord, de migratie van het zand van de proefstorting van eind 2018 in de stroomopwaartse richting en gezien de uitvoering van de grensoverschrijdende proefstortingen, wordt besloten geen verdere stortingen binnen SN61 uit te voeren.

1.2.6 Macrocel 7 – Appelzak (SN71)

Het watervolume is beperkt toegenomen t.o.v. vorig jaar en overschrijdt terug zowel de ondergrens als de waarschuwingsgrens. Dit is een nevengeul zonder stortzone, waardoor de stortstrategie dan ook niet kan worden aangepast. Vanuit het Overleg flexibel storten wordt de ontwikkeling van deze geul wel mee opgevolgd analoog aan de grotere nevengeulen.

1.3 Besluit stortstrategie op basis van criterium instandhouding meergeulenstelsel

De stortzones SN11 en SN31 kunnen verder benut blijven. SN41, SN51 en SN61 kunnen het volgend vergunningsjaar niet gebruikt worden.

2. Criterium ecologische winst plaatrandstortingen

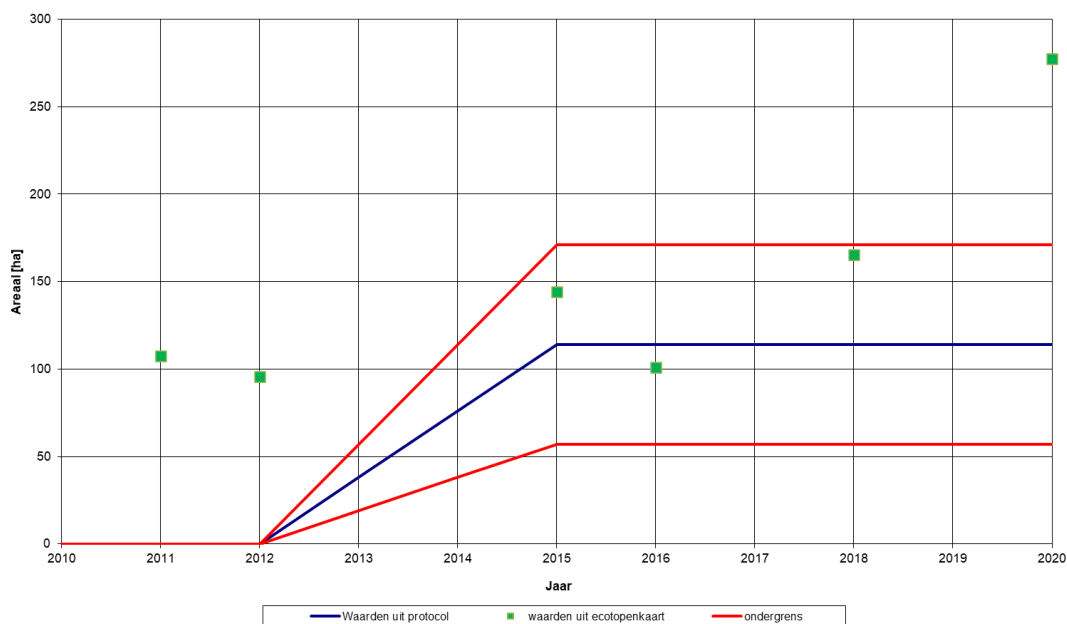
2.1 Ontwikkeling laagdynamisch areaal plaatranden

2.1.1 Globale evaluatie plaatrandzones

De ecotopenkaart 2020 is op 1 juni 2021 opgeleverd. Als bijlage 2 is een overzichtskaart opgenomen. Het Overleg heeft bekeken welke veranderingen in hoog- en laagdynamische ecotopen t.o.v. 2010 en 2018 te zien zijn in de invloedzones van de plaatrandstortingen. In totaal is er zo'n 112 ha laagdynamisch areaal intergetijdengebied (litoraal) en ondiep water (sublitoraal) meer vastgesteld in 2018, in vergelijking met 2016 (zie Figuur 4). Ten opzichte van 2010 is er een winst van 277 ha.

Ter hoogte van de Rug van Baarland zijn tijdens de jaren 2010 en 2011 beperkte hoeveelheden specie gestort waarna er tot op heden niet meer is gestort. De sterke autonome sedimentatie is zodoende het meest bepalend voor de ontwikkeling van het gebied en de winst in laagdynamisch areaal. Als we daarom de toename aan laagdynamisch areaal bij de Rug van Baarland buiten beschouwing laten, is er in 2020 in totale netto toename van 76 ha laagdynamisch gebied t.o.v. 2018. Ten opzichte van 2010 is er nog een winst van 124 ha, wat flink hoger is dan het streefdoel na 5 jaar (*Plancke, Y.; Vos, G.; Ides, S.; Mostaert, F. (2009). Determinatieonderzoek plaatrandstortingen: Ontwikkelingen van arealen op de korte termijn. Versie 2_0. WL Rapporten, 791_06. Waterbouwkundig Laboratorium: Antwerpen, België*) voor de gebieden Hooge Platen en Plaat van Walsoorden (zie Figuur 5). De grootste bijdrage wordt gevormd door de Plaat van Walsoorden.

Toetsing totaal ecologisch waardevol areaal plaatranden t.o.v. 2010, inclusief Rug van Baarland



Figuur 4 - Toetsing toename ecologisch waardevol areaal plaatrandstortzones volgens Protocol kwaliteitsparameters

Toetsing totaal ecologisch waardevol areaal plaatranden t.o.v. 2010, exclusief Rug van Baarland



Figuur 5 - Toetsing toename ecologisch waardevol areaal plaatrandstortzones Hooge Platen en Plaat van Walsoorden (excl. Rug van Baarland)

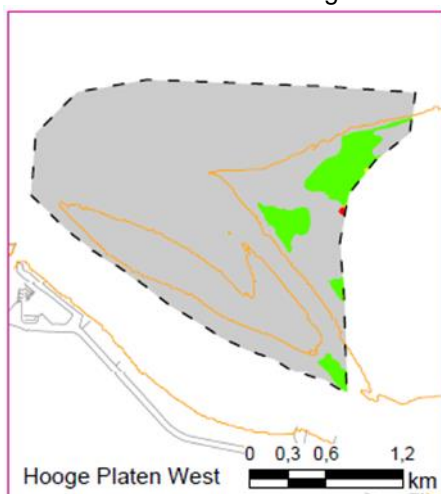
2.1.2 Hooge Platen West

Een overzicht van de oppervlaktes aan laagdynamisch areaal binnen de rekenpolygoon voor de plaatrandzone Hooge Platen West is opgenomen als Tabel 2.

Tabel 2 - Ecotooparealen Hoge Platen West (in ha)

| Omschrijving | 1996 | 2001 | 2004 | 2008 | 2010 | 2011 | 2012 | 2015 | 2016 | 2018 | 2020 | 2020-2010 | 2020-2018 |
|---------------------------------------|------------|-------------|-------------|------------|-------------|-------------|-------------|-------------|------------|------------|-------------|-------------|-------------|
| LD fijnzandig laag litoraal | 0,0 | 17,0 | 28,0 | 3,0 | 0,0 | 9,0 | 4,0 | 0,0 | 0,0 | | 6,1 | 6,1 | 6,1 |
| LD fijnzandig middelhoog litoraal | 0,0 | 15,0 | 16,0 | 3,0 | 12,0 | 30,0 | 19,0 | 11,0 | 0,0 | 0,0 | 24,0 | 12,0 | 23,9 |
| LD fijnzandig hoog litoraal | | | | | | | | | | | 1,5 | 1,5 | 1,5 |
| LD slibrijk middelhoog litoraal | 0,0 | 0,0 | 0,0 | 0,0 | 0,0 | 0,0 | 0,0 | 0,0 | 1,0 | 0,5 | 0,0 | 0,0 | -0,5 |
| LD zacht substraat ondiep sublitoraal | 0 | 0 | 0 | 0 | 0,0 | 0 | 1,0 | 0,0 | 0,0 | | 0,0 | 0,0 | 0,0 |
| Totaal | 0,0 | 32,0 | 44,0 | 6,0 | 12,0 | 39,0 | 24,0 | 11,0 | 1,0 | 0,5 | 31,6 | 19,6 | 31,0 |

Het totale laagdynamische plaatareaal binnen de rekenpolygoon is sterk toegenomen sinds 2018. Vooral het areaal laagdynamisch fijnzandig middelhoog litoraal is er toegenomen (+ 24 ha). Figuur 6 geeft het verschilbeeld 2020 t.o.v. 2018. Ten opzichte van 2010 is het areaal er met 20 ha toegenomen.



Figuur 6 - Verschil laagdynamisch areaal 2020 vs. 2018 HPW (groen: HD naar LD, rood: LD naar HD, grijs: HD ongewijzigd)

Op basis van deze elementen zijn er geen redenen om aan te nemen dat de stortingen er niet verder uitgevoerd zouden kunnen worden.

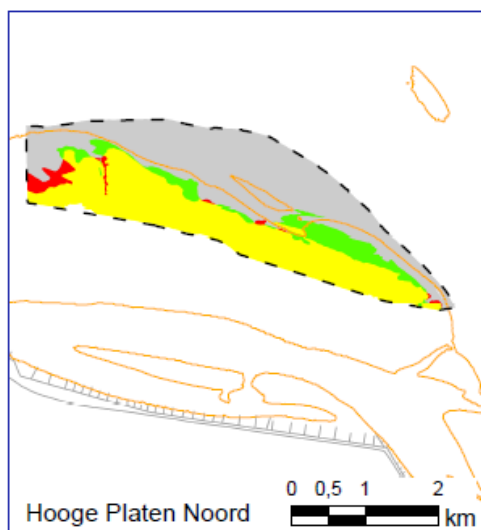
2.1.3 Hooge Platen Noord

Een overzicht van de oppervlaktes aan laagdynamisch areaal binnen de rekenpolygoon voor de plaatrandzone Hooge Platen Noord is opgenomen als Tabel 3.

Tabel 3 - Ecotooparealen Hooge Platen Noord (in ha)

| Omschrijving | 1996 | 2001 | 2004 | 2008 | 2010 | 2011 | 2012 | 2015 | 2016 | 2018 | 2020 | 2020- 2010 | 2020- 2018 |
|---------------------------------------|------------|--------------|--------------|--------------|--------------|--------------|--------------|--------------|--------------|--------------|--------------|---------------|---------------|
| LD fijnzandig hoog litoraal | 6 | 7,0 | 7,0 | 12,0 | 22,9 | 23,0 | 14,0 | 30,0 | 34,0 | 49,6 | 47,0 | 24,1 | -2,6 |
| LD fijnzandig laag litoraal | 0 | 25,0 | 27,0 | 14,0 | 14,1 | 21,0 | 30,0 | 21,0 | 3,0 | 0,9 | 6,6 | -7,5 | 5,7 |
| LD fijnzandig middel-hoog litoraal | 29 | 67,0 | 170,0 | 129,0 | 193,4 | 186,0 | 159,0 | 170,0 | 90,0 | 94,8 | 114,0 | -79,4 | 19,2 |
| LD slibrijk hoog litoraal | 2 | 0,0 | 14,0 | 0 | 0,0 | 0,0 | 2,0 | 1,0 | 4,0 | 12,6 | 26,7 | 26,7 | 14,1 |
| LD slibrijk laag litoraal | 7 | 3,0 | 2,0 | 1,0 | 1,0 | 5,0 | 0,0 | 0,0 | 0,0 | 0,0 | 0,8 | -0,2 | 0,8 |
| LD slibrijk middel-hoog litoraal | 163 | 117,0 | 28,0 | 80,0 | 26,5 | 48,0 | 73,0 | 87,0 | 124,0 | 111,0 | 116,4 | 89,8 | 5,4 |
| LD zacht substraat ondiep sublitoraal | 1 | 4,0 | 3,0 | 0 | 1,0 | 2,0 | 1,0 | 1,0 | 1,0 | 2,6 | 3,1 | 2,1 | 0,5 |
| Totaal | 208 | 223,0 | 251,0 | 236,0 | 258,9 | 285,0 | 279,0 | 310,0 | 256,0 | 271,5 | 314,5 | 55,6 | 43,0 |

In 2020 is het areaal terug toegenomen met 43 ha in vergelijking met de metingen van 2018. Ten opzichte van 2010 is een aanwinst van 56 ha berekend. De voorbije 2 jaar blijkt vooral het LD-areaal binnen het fijnzandig middelhoog litoraal en het slibrijk hoog litoraal vergroot. Figuur 7 geeft het verschilbeeld 2020 t.o.v. 2018.



Figuur 7 - Verschil laagdynamisch areaal 2020 vs. 2018 HPN (groen: HD naar LD, rood: LD naar HD, grijs: HD ongewijzigd, geel: LD ongewijzigd)

Het gebied tussen de plaatrand en de oostelijke zandrug verondiept verder waardoor laagdynamisch areaal ontstaat. Het is de vraag of dit effectief ook ecologisch waardevol gebied betreft. De gestage ophoging van deze plaat die reeds plaatsvond voor de plaatrandstoringen, blijft zich echter verderzetten (cf. §3.2). Gelet op dit aspect besluit het Overleg om voorlopig geen nieuwe stortingen op deze plaatrand te gaan uitvoeren.

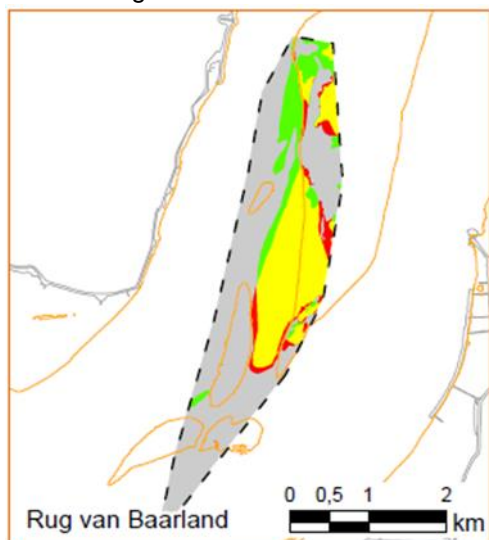
2.1.4 Rug van Baarland

Een overzicht van de oppervlaktes aan laagdynamisch areaal binnen de rekenpolygoon voor de plaatrandzone Rug van Baarland is opgenomen als Tabel 4.

Tabel 4 - Ecotooparealen Rug van Baarland (in ha)

| Omschrijving | 1996 | 2001 | 2004 | 2008 | 2010 | 2011 | 2012 | 2015 | 2016 | 2018 | 2020 | 2020-2010 | 2020-2018 |
|---------------------------------------|-------------|-------------|-------------|-------------|-------------|-------------|-------------|--------------|--------------|--------------|--------------|--------------|-------------|
| LD fijnzandig hoog litoraal | 0,0 | 0,0 | 0,0 | 0,0 | 0,6 | 0,9 | 0,3 | 0,0 | 0,0 | 0,0 | 0,0 | -0,6 | 0,0 |
| LD fijnzandig laag litoraal | 1,7 | 0,8 | 0,0 | 0,0 | 0,3 | 1,0 | 1,5 | 10,0 | 9,0 | 23,1 | 7,0 | 6,7 | -16,1 |
| LD fijnzandig middelhoog litoraal | 39,2 | 11,5 | 40,2 | 9,6 | 26,8 | 40,3 | 50,5 | 75,0 | 53,0 | 53,5 | 35,5 | 8,6 | -18,0 |
| LD slibrijk laag litoraal | 0,4 | 0,8 | 0,5 | 0,0 | 0,2 | 0,0 | 0,0 | 0,0 | 0,0 | 1,2 | 16,6 | 16,4 | 15,5 |
| LD slibrijk middelhoog litoraal | 14,4 | 0,8 | 0,8 | 0,0 | 0,3 | 0,0 | 0,0 | 0,0 | 0,0 | 3,8 | 25,9 | 25,6 | 22,2 |
| LD zacht substraat ondiep sublitoraal | 2,4 | 4,8 | 6,4 | 31,7 | 31,4 | 47,6 | 45,2 | 48,0 | 73,0 | 94,9 | 126,8 | 95,4 | 32,0 |
| Totaal | 58,2 | 18,7 | 47,9 | 41,3 | 59,7 | 89,9 | 97,6 | 133,0 | 135,0 | 176,4 | 211,8 | 152,1 | 35,5 |

Er is sinds de metingen van 2018 netto 36 ha laagdynamisch gebied bijgekomen. De winst situeert zich hoofdzakelijk aan de noordwestelijke flank van deze plaatrand (cf. Figuur 8) en is toe te schrijven aan een toegenomen areaal aan slibrijk laag en middelhoog litoraal en zacht substraat in het ondiep sublitoraal. Sinds 2010 is het laagdynamisch areaal met 152 ha toegenomen.



Figuur 8 - Verschil laagdynamisch areaal 2020 vs. 2018 RVB (groen: HD naar LD, rood: LD naar HD, grijs: HD ongewijzigd, geel: LD ongewijzigd)

Enkel tijdens de jaren 2010 en 2011 zijn plaatrandstortingen (1.305.019 m³) uitgevoerd bij de Rug van Baarland. Er is sprake van autonome ontwikkelingen ter hoogte van de plaatrand waarbij de initiële stortingen deze ontwikkelingen mogelijk wel beïnvloed hebben. Gelet op dit aspect besluit het Overleg om voorlopig geen nieuwe stortingen op deze plaatrand te gaan uitvoeren.

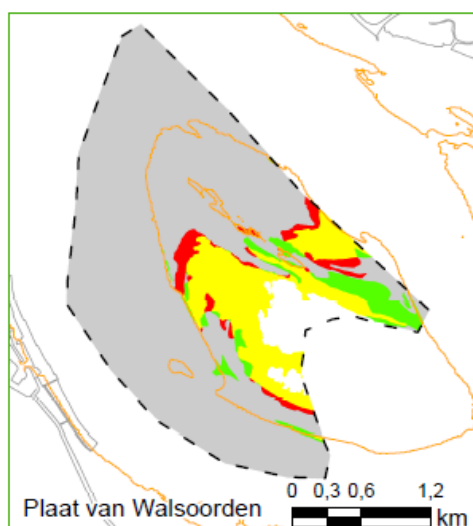
2.1.5 Plaat van Walsoorden

Een overzicht van de oppervlaktes aan laagdynamisch areaal binnen de rekenpolygoon voor de plaatrandzone Plaat van Walsoorden is opgenomen als Tabel 5.

Tabel 5 - Ecotooparealen Plaat van Walsoorden (in ha)

| Omschrijving | 1996 | 2001 | 2004 | 2008 | 2010 | 2011 | 2012 | 2015 | 2016 | 2018 | 2020 | 2020-2010 | 2020-2018 |
|---------------------------------------|--------------|-------------|-------------|-------------|-------------|-------------|-------------|--------------|--------------|--------------|--------------|-------------|-------------|
| LD fijnzandig hoog litoraal | 64,7 | 42,7 | 33,8 | 39,9 | 32,6 | 41,2 | 35,5 | 38,0 | 34,5 | 31,4 | 28,0 | -4,5 | -3,4 |
| LD fijnzandig laag litoraal | 0,0 | 0,0 | 0,0 | 0,0 | 0,0 | 0,0 | 1,8 | 1,0 | 4,6 | 5,1 | 6,4 | 6,4 | 1,3 |
| LD fijnzandig middelhoog litoraal | 34,9 | 26,2 | 23,6 | 40,3 | 33,9 | 49,5 | 54,2 | 53,0 | 64,7 | 73,5 | 77,7 | 43,8 | 4,2 |
| LD slibrijk hoog litoraal | 0,5 | 9,8 | 21,2 | 0,0 | 0,0 | 0,0 | 0,4 | 4,0 | 0,0 | 0,2 | 0,2 | 0,2 | 0,0 |
| LD slibrijk middelhoog litoraal | 0,0 | 8,2 | 17,6 | 0,0 | 0,0 | 0,0 | 0,5 | 0,0 | 0,0 | 2,3 | 2,3 | 2,3 | 0,0 |
| LD zacht substraat ondiep sublitoraal | 0,0 | 0,0 | 0,9 | 0,0 | 0,2 | 0,0 | 0,0 | 6,0 | 2,2 | 1,5 | 1,7 | 1,4 | 0,2 |
| Totaal | 100,0 | 87,0 | 98,0 | 80,0 | 67,0 | 91,0 | 92,0 | 102,0 | 106,0 | 113,9 | 116,2 | 49,5 | 2,3 |

Het areaal laagdynamisch gebied ter hoogte van deze plaatrandzone vertoonde opnieuw een toename in 2020. Deze toename is, net als in 2018, voor het grootste deel te wijten is aan een stijging van het middelhoog fijnzandig litoraal. De verschilkaart 2020-2018 (Figuur 9) toont de grootste winst aan LD-areaal aan de zuidoostelijke flank van de plaat.



Figuur 9 - Verschil laagdynamisch areaal 2020 vs. 2018 PvW (groen: HD naar LD, rood: LD naar HD, grijs: HD ongewijzigd, geel: LD ongewijzigd)

Ten opzichte van 2010 is het LD-areaal met 50 ha toegenomen.

Er zijn geen elementen die de verderzetting van de stortingen ter hoogte van deze plaatrandzone verhinderen. Er wordt besloten dat deze plaatrand verder benut kan worden als stortzone.

2.1.6 Besluit ontwikkeling laagdynamisch areaal ter hoogte van de plaatrandzones

De ecotopenkaart van 2020 laat t.o.v. 2018 terug een toename zien van laagdynamisch areaal. Deze toename wordt vastgesteld zich ter hoogte van de vier opgevolgde plaatranden. De sterkste toename wordt opgemeten ter hoogte van Hooge Platen Noord. Daar is 43 ha LD-areaal bijgekomen.

De verschilkaarten tonen ook aan dat de wijzigingen in ecotooptypes niet éénduidig gerelateerd kunnen worden aan de plaatrandstortingen van de voorbije jaren. Zo is vertoont de Rug van Baarland een sterk autonome dynamiek met stijging van het LD-areaal en neemt

het areaal aan laagdynamisch gebied aan Hooge Platen Noord eveneens toe. In beide plaatrandzones zijn echter geen stortingen uitgevoerd in de voorbije periode. Aan de plaat van Walsoorden zijn er wel stortingen uitgevoerd aan de noordwestelijke zijde maar wordt de toename vastgesteld aan de zuidoostelijke flank.

Op basis van deze elementen wordt besloten dat verder gestort kan worden ter hoogte van HPW en PvW. De zones HPN en RvB worden niet bestort (cf. voorgaande besluiten).

2.1.7 Stroomsnelheid

De stroomsnelheidsmodellering werd geactualiseerd. Binnen het NeVla-model werd de vaklodingskaart 2019 gebruikt maar werden actuele peilingen van de plaatrandzones toegepast. De overige randvoorwaarden bleven identiek. Op basis van deze modellering besloot het WL dat er sprake is van zeer beperkte, lokale veranderingen, voornamelijk ter hoogte van het plaatje van Breskens aan HPW, de oostelijke zandtong aan HPN en de zuidelijke zandtong aan PvW. Een presentatie van het opvolgingsrapport 18, opgemaakt door het WL, is opgenomen als bijlage 3.

Stroomsnelheidsmetingen werden uitgevoerd ter hoogte van Hooge Platen West in 2020 maar de rapportage van deze metingen was ten tijde van het toetsoverleg nog niet beschikbaar.

2.2 Stabiliteit stortingen

2.2.1 Algemeen

In het protocol is beschreven dat het ongewenst is als de specie minder goed blijft liggen dan voorzien. De voorziene percentages zijn opgenomen in Tabel 6.

Tabel 6 - Gewenste stabiliteit gestort materiaal

| Jaar | Percentage oorspronkelijk gestort materiaal |
|-------|---|
| 0 | 100% |
| 1 | 80% |
| 2 | 70% |
| 3 | 60% |
| 4 | 50% |
| 5 | 40% |
| 6 (1) | 30% |

Er is met de huidige vergunning (in werking sinds 12 februari 2015) een aangepast protocol voorwaarden voor flexibel storten in werking getreden, waarbij het criterium voor stabiliteit na 6 jaar (dus op 12/2/2021) 30% bedraagt. Stabiliteit wordt beschouwd als de verhouding van de gemeten volumeverschillen ten opzichte van de gestorte volumes in dezelfde periode.

¹ De lineaire trend wordt verdergezet naar jaar 6, zoals besloten tijdens het toetsoverleg

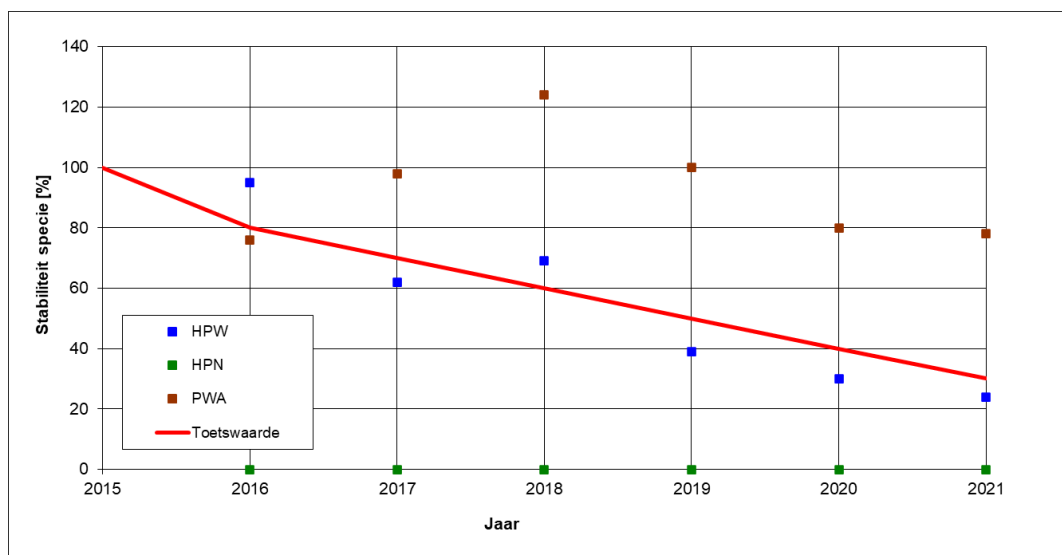
Om de stabiliteit ook op langere termijn in de gaten te houden, besluit het overleg om twee manieren te bekijken: 1^e de toetsing zoals het nieuwe protocol voorziet t.o.v. 12/2/2015 (Figuur 10), 2^e is om naar de historie te kijken vanaf de start van de 3^e verruiming in 2010 (Figuur 11).

De stabiliteit van de stortingen sinds de start van de verruiming is opgenomen in Tabel 7 (sinds 2^e vergunningsperiode 2015) en Tabel 8 (sinds 2010). De verschillende plaatrand-zones worden besproken in §2.2.2 tot §2.2.5.

In 2015 zijn zeer beperkte bijkomende stortingen uitgevoerd op de plaatrand Hooge Platen Noord met als doelstelling de aansluiting van de oostelijke zand tong met de Hoge Springer te herstellen. In deze periode is meer sediment geërodeerd, waardoor de stabiliteit ten opzichte van de start van de tweede vergunningsperiode 'netto' kleiner is dan nul. In oktober en november 2016 is met dezelfde doelstelling ca. 144.000 m³ sediment aangebracht door middel van rainbowing, vlak tegen de Hooge Platen Noord aan. Nadien zijn geen sedimenten meer aangebracht.

Tabel 7 - stabiliteit plaatrandstortingen ten opzichte van de start van de 2^e vergunningsperiode

| Plaatrandzone | Start 2de vergunning | Toetspeiling | Gepeild volume-verschil (Mm ³) | Gestort volume sinds 2015 (Mm ³) | Stabiliteit t.o.v. actuele T0 (2015) (%) |
|---------------|----------------------|-------------------|--|--|--|
| HPW | 5/02/2015 (T63) | 12/02/2021 (T133) | 1.414.767 | 5.887.046 | 24% |
| HPN | 3/02/2015 (T64) | 26/01/2021 (T109) | -1.687.770 | 162.105 | < 0% |
| PWA | 24/02/2015 (T80) | 9/02/2021 (T141) | 3.374.912 | 4.330.113 | 78% |
| RVB | 21/01/2015 (T47) | 1/05/2020 (T54) | 5.607.786 | 0 | Geen stortingen uitgevoerd |

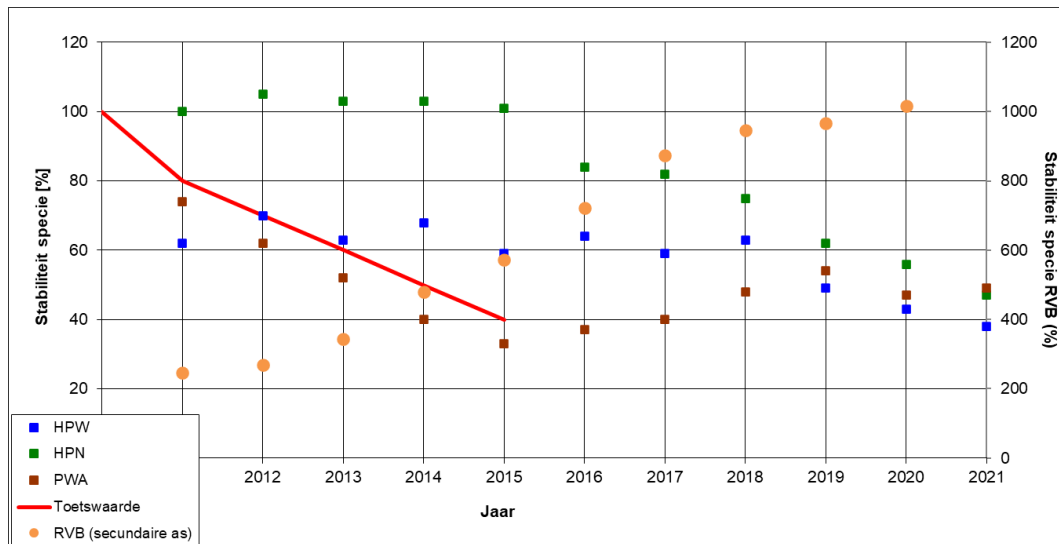


Figuur 10 - Stabiliteit plaatrandstortingen binnen huidige vergunningsperiode

Tabel 8 - stabiliteit plaatrandstortingen ten opzichte van de start van de verruiming

| Plaatrandzone | T0 | Toetspeiling | Gepeild volume-verschil (Mm ³) | Gestort volume sinds 2010 (Mm ³) | Stabiliteit t.o.v. originele T0 (2010) (%) |
|---------------|----------------|-------------------|--|--|--|
| HPW | 4/02/2010 (T0) | 12/02/2021 (T133) | 3.287.577 | 8.547.093 | 38% |

| Plaatrandzone | T0 | Toetspeiling | Gepeild volume-verschil (Mm ³) | Gestort volume sinds 2010 (Mm ³) | Stabiliteit t.o.v. originele T0 (2010) (%) |
|---------------|-----------------|-------------------|--|--|--|
| HPN | 25/04/2010 (T0) | 26/01/2021 (T109) | 2.086.778 | 4.434.497 | 47% |
| PWA | 1/02/2010 (T0) | 9/02/2021 (T141) | 5.198.903 | 10.530.836 | 49% |
| RVB | 12/02/2010 (T0) | 1/05/2020 (T54) | 13.271.236 | 1.305.019 | 1017% |



Figuur 11 - Stabiliteit plaatrandstortingen sinds 3e verruiming

2.2.2 Hooge Platen West

In het elfde vergunningsjaar (12/02/2020 - 11/02/2021) werd ca. 1.109.000 m³ (in-situ) baggermateriaal afkomstig van de Drempel van Borssele (ca. 851.000 m³), de drempel van Vlissingen (ca. 119.000 m³) en de Pas van Terneuzen (ca. 191.000 m³) op de plaatrandstortzone Hooge Platen West aangebracht. De stabiliteit sinds de start van de tweede vergunning bedraagt 24% aan het eind van het elfde vergunningsjaar (T133, 12/02/2021). De totale stabiliteit na 10 jaar (sinds de start van de eerste vergunning) bedraagt 38%.

De stabiliteit is terug afgenomen en ligt onder de vastgelegde waarde in het protocol voor de tweede vergunningsperiode. Ten opzichte van de situatie na de 3^e verruiming flirt de stabiliteit nog met de grenswaarde op het einde van de eerste vergunningsperiode.

Er wordt besloten dat er verder gestort kan worden op basis van dit criterium.

2.2.3 Hooge Platen Noord

In het elfde vergunningsjaar zijn geen bijkomende stortingen uitgevoerd. De stabiliteit ten opzichte van T0 bij toetspeiling T109 (26/01/2021) bedraagt 47%. Echter kan bij de reguliere peilingen niet het volledige oppervlak ingepeild worden, waardoor de sedimenten die zich hoger in de stortzone hebben verplaatst niet worden meegenomen in de stabiliteitsberekeningen. Bij de laatste grote peiling T106, (14/08/2020) is de stabiliteit sinds de start van de eerste vergunning 74%. Voor de tweede vergunningsperiode kan de stabiliteit van de stortingen niet berekend worden, in verband met het kleine stortvolume in deze periode.

Gezien de ophoging van de plaat worden geen verdere stortingen voorzien in 2021.

2.2.4 Rug van Baarland

Hier wordt sinds maart 2012 niet meer gestort. De meest recente peiling werd uitgevoerd drie maanden na het begin van het elfde jaar (T54, 1/05/2020). Het opgemeten volume was bij deze peiling 1017% van het totale gestorte volume in deze zone. Deze waarde komt niet overeen met de 'stabiliteit van de gestorte baggerspecie', maar geeft de sterk autonome sedimentatietrend weer.

Het criterium stabiliteit is dan ook niet van toepassing. Deze locatie wordt wel nog opgevolgd bij de andere toetscriteria.

Er wordt besloten dat er ook in 2021 niet gestort kan worden gezien de sterk autonome sedimentatie.

2.2.5 Plaat van Walsoorden

In het elfde vergunningsjaar werd er opnieuw intensiever gestort in de plaatrandstortzone Plaat van Walsoorden, met een totaal volume van 1 178 000 m³. De totale stabiliteit ten opzichte van het begin van de eerste vergunningsperiode bedraagt aan het eind van het elfde jaar (T141, 9/02/2021) 49%. Ten opzichte van de start van de tweede vergunning bedraagt de stabiliteit van de plaatrandstortingen bij deze toetspeiling 78%.

De stabiliteit is zeer beperkt afgenomen maar ligt nog ruim vastgelegde waarde in het protocol voor de tweede vergunningsperiode. Ten opzichte van de situatie na de 3^e verruiming ligt de stabiliteit nog hoger dan de grenswaarde op het einde van de eerste vergunningsperiode.

Het overleg besluit de stortingen ter hoogte van deze plaatrandzone verder uit te voeren.

3. Criterium behoud oppervlakte ecologisch waardevol gebied

3.1 Ontwikkeling ecologisch waardevol areaal Westerschelde

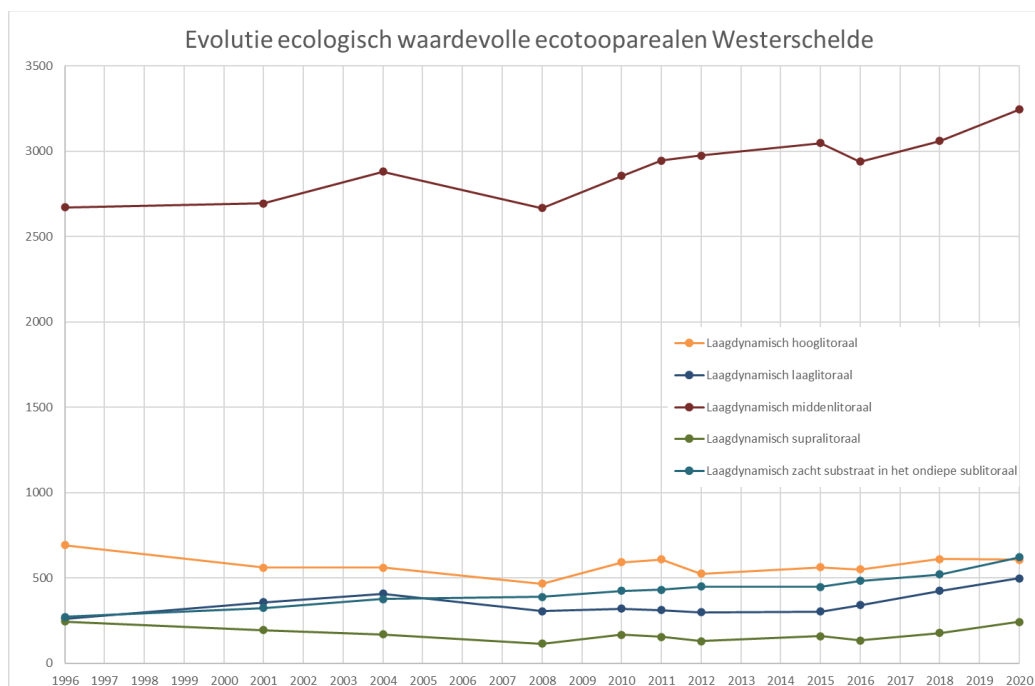
Een overzicht van de oppervlaktes aan laagdynamisch areaal voor Westerschelde is opgenomen als Tabel 9.

Tabel 9 - Ecotooparealen Westerschelde (in ha)

| Omschrijving | 1996 | 2001 | 2004 | 2008 | 2010 | 2011 | 2012 | 2015 | 2016 | 2018 | 2020 | 2020- 2010 | 2020- 2018 |
|---|--------------|--------------|--------------|--------------|--------------|--------------|--------------|--------------|--------------|--------------|--------------|---------------|---------------|
| Hard substraat steen | 132 | 144 | 151 | 169 | 166 | 168 | 168 | 180 | 173 | 162 | 171 | 5 | 9 |
| Hard substraat veen/klei | 208 | 176 | 104 | 101 | 119 | 123 | 129 | 137 | 113 | 109 | 132 | 14 | 23 |
| Hoogdynamisch litoraal | 3882 | 3743 | 3451 | 3656 | 3330 | 3317 | 3302 | 3143 | 3283 | 3062 | 2747 | -583 | -315 |
| Hoogdynamisch sublitoraal | 19283 | 19369 | 19483 | 19355 | 19303 | 19134 | 19158 | 19158 | 19157 | 19020 | 18876 | -427 | -143 |
| Hoogdynamisch supralitoraal | 79 | 35 | 63 | 65 | 70 | 53 | 50 | 47 | 30 | 42 | 49 | -21 | 7 |
| Laagdynamisch hooglitoraal | 693 | 560 | 562 | 468 | 592 | 610 | 525 | 563 | 550 | 612 | 607 | 15 | -5 |
| Laagdynamisch laaglitoraal | 261 | 358 | 409 | 306 | 321 | 313 | 299 | 304 | 341 | 425 | 499 | 178 | 75 |
| Laagdynamisch middenlitoraal | 2671 | 2696 | 2882 | 2668 | 2857 | 2947 | 2975 | 3050 | 2940 | 3061 | 3245 | 389 | 184 |
| Laagdynamisch supralitoraal | 246 | 195 | 171 | 116 | 167 | 155 | 131 | 159 | 135 | 179 | 243 | 75 | 64 |
| Laagdynamisch zacht substraat in het diepe sublitoraal | 146 | 172 | 183 | 237 | 269 | 296 | 295 | 274 | 266 | 280 | 284 | 15 | 4 |
| Laagdynamisch zacht substraat in het ondiepe sublitoraal | 273 | 324 | 377 | 390 | 424 | 432 | 449 | 449 | 484 | 522 | 621 | 197 | 99 |
| Overig | 72 | 77 | 73 | 71 | 85 | 88 | 87 | 87 | 84 | 83 | 83 | -2 | 0 |
| Pionierzone | 141 | 212 | 192 | 408 | 211 | 191 | 237 | 178 | 201 | 138 | 143 | -68 | 5 |
| Schor | 2672 | 2697 | 2657 | 2749 | 2842 | 2932 | 2953 | 3029 | 3067 | 3127 | 3123 | 280 | -5 |
| Totaal | 30758 | 30758 | 30758 | 30758 | 30758 | 30758 | 30758 | 30758 | 30823 | 30823 | 30823 | 65 | 0 |

In 2016 is het nieuwe inter-getijde gebied bij Perkpolder meegenomen. Hierdoor is het totaal areaal met 65 ha toegenomen.

Figuur 12 geeft een beeld van de evolutie van het areaal ecologisch waardevol gebied sinds 1996.



Figuur 12 - Areaal ecologisch waardevol gebied Westerschelde

De meest recente ecotopenkaart toont aan dat het ecologisch waardevol gebied in de Westerschelde toegenomen is. Voor alle types laagdynamisch gebied zijn, met uitzondering van het hooglitoraal, de arealen groter ten opzichte van 2010 en 2018. De grootste toename wordt vastgesteld in het laag- en middenlitoraal, aangevuld door het ondiepe sublitoraal.

3.2 Sedimentatie-erosie op platen

Voor dit criterium is een methode ontwikkeld om te kunnen evalueren of de RTK-puntmetingen een te snelle sedimentatie of erosie vertonen. De methode werd op alle meetpunten toegepast. De punten die de sedimentatie- of erosienorm overschrijden, zijn door het Overleg flexibel storten besproken om te bepalen of:

- 1) de ontwikkeling verband houdt met de plaatrandstortingen, en
- 2) de ontwikkeling een probleem vormt.

Voor deze toetsing is uitgegaan van de jaarlijkse datarapportage van 2020 (zie bijlage 4). In de memo 'Toelichting op de resultaten toetsing criterium sedimentatie/erosie plaathogtes' (opgemaakt door Rijkswaterstaat, cf. bijlage 5) zijn de punten die de sedimentatie- of erosienorm overschrijden, opgelijst, samen met een overzicht van de relevante monitoringsgegevens.

De ontwikkelde toetsmethode is gebaseerd op 4 opnames per jaar. In 2015 jaar besloot het overleg dat de meetfrequentie verlaagd kon worden tot twee campagnes per jaar omdat de ontwikkelingen de voorbije jaren al heel wat kennis opleverden en gezien de dynamiek van de punten (1^e en 3^e kwartaal wordt nu gemeten).

In de praktijk is het mogelijk dat eenzelfde meetpunt het ene jaar een overschrijding vertoont die er het jaar daarna niet meer is. De interpretatie op iets grotere ruimtelijke schaal samen met andere metingen en visuele veldwaarnemingen is daarom belangrijk, evenals het beschouwen van een wat langere periode.

3.2.1 Hooge Platen West

De zandrug die het achterliggende gebied luwer maakt, breidt langzaam uit in oostelijke richting en wordt ook ondieper. Dit wordt als positief beoordeeld omdat zo een luw gebied gecreëerd wordt tussen deze rug en de plaat.

Punt 932 ligt bovenop de zandrug, wat weerspiegeld wordt in een beperkte sedimentatie. Punt 931 ligt nog net achter de zandrug aan de oostzijde en wordt sinds vorig jaar ondieper.

Het overleg besluit dat de stortingen kunnen doorgaan op Hooge Platen West.

3.2.2 Hooge Platen Noord

Over quasi de volledige plaat wordt sedimentatie vastgesteld waarbij de grenswaarden overschreden worden. De profielen tonen aan dat de volledige plaat verder aan het ophogen is met uitzondering van de noordoostelijke zone. Daar wordt ter hoogte van punten 918 en 919 erosie vastgesteld.

De schaar van de oostelijke arm is verder aan het verondiepen.

Het overleg besluit dat stortingen ter hoogte van deze plaatrandzone in de komende periode niet uitgevoerd zullen worden.

3.2.3 Rug van Baarland

De zuidelijke raaien 2410 en 2430 en de centrale raai 2415 tonen een relatief stabiele situatie. Centraal-zuidelijk blijft de hoogte stabiel. Meer noordelijk eroderen zowel de west- als oostflank verder. De hoogte van de plaat blijft er wel stabiel.

Het overleg besluit dat geen stortingen uitgevoerd kunnen worden op deze plaatrand in het huidige vergunningsjaar.

3.2.4 Plaat van Walsoorden

De noordwestelijke plaatpunt (536) vertoont opnieuw erosie maar de migratie van zandribbels kan hier mogelijk mee voor verantwoordelijk zijn. De noordwestelijke flank (534 en 532) eroderen beperkt. Het hoogstgelegen gebied is stabiel gebleven.

De zuidoostelijke plaatpunt (523) vertoont sterke erosie. Daar is de bodemhoogte met 2,5 m afgenomen. De zuidelijke plaatrand (508-509) is dan weer gesedimenteerd.

De geul aan de noord-noordoostzijde op de plaat (514) sedimenteert verder. Dit vertaalt zich ook in een toename van het laagdynamisch areaal (cf. §2.1.5) in deze deelzone.

Het overleg besluit dat stortingen verder uitgevoerd kunnen worden.

3.3 Ontwikkeling schorranden

Voor dit criterium is een methode ontwikkeld om te kunnen evalueren of er een wijziging is in de snelheid waarmee schorranden eroderen. Indien deze sneller eroderen dan vóór de verruiming (trendbreuk), is dit een negatieve evolutie. Daarbij wordt enerzijds gekeken naar de erosie van het schorklif (indien dit aanwezig is), en anderzijds naar het voorland. Er wordt verwacht dat wijzigingen sneller zichtbaar worden ter hoogte van het voorland, en dat het klif trager reageert.

De verschillende schorren werden door het Overleg flexibel storten beoordeeld. De meeste schorranden zijn stabiel. Op die schorranden waar erosie zichtbaar is, was deze reeds gaande, en worden geen trendbreuken vastgesteld.

Er worden geen ontwikkelingen waargenomen die aanleiding geven tot nader onderzoek of actie.

Volgende zaken zijn vermeldenswaardig:

- 1) Zuidgors: de schorrand aan de westelijke zijde schrijdt iets verder terug terwijl de oostelijke zijde redelijk stabiel blijft. Het voorland erodeert in de westelijke zone terwijl de meest oostelijke raai eerde sedimentatie aantoonde zowel boven als onder de 0 m NAP-lijn.
- 2) Baarland: schorrand stabiel maar voorliggend Boerengat kreekje vult verder op. Dit betreft een afvoergeul van een pompgemaal.
- 3) Hulst: gebied lager dan 0 m NAP vertoont langjarige trage erosie. Het laatste jaar toont terug beperkte sedimentatie
- 4) Waarde: voorland vertoont aan oostelijke raai langjarige trage erosie
- 5) Bath: aanleg van nieuwe strekdammen resulteert in een sedimentatie in de zone net voor de schorrand
- 6) De erosie van het slik aan de oostkant bij Saeftinghe gaat verder door als gevolg van stroomsnelheid en scheepsgolven. Vooral ter hoogte van de raaien 2780 aan de noordoostelijke zijde is deze teruggang opvallend. Daar staat ondertussen een klif van zo'n 4 m hoogte. De schorrand zelf houdt wel stand. Nabij de raai 2800 lijkt de situatie gestabiliseerd. Ter hoogte van raai 2790 schrijdt de schorrand wel verder terug. Sinds 2010 gaat het om zo'n 75 m. Nabij raai 2800 is de situatie iets stabiel.

Voor de monitoringsresultaten van de schor-slik raaien, zie bijlage 4.

4. Conclusies stortstrategie

Op basis van de verschillende geëvalueerde elementen uit het protocol Flexibel storten worden volgende besluiten genomen met betrekking tot de stortzones uit de actuele basisvergunning voor het onderhoud van de hoofdvaargeul:

Hooge Platen West

Stortingen kunnen voortgezet worden als voorheen.

Hooge Platen Noord

Uit voorzorgsprincipe wordt niet gestort. Monitoring blijft wel verder lopen.

Rug van Baarland

Uit voorzorgsprincipe wordt niet gestort. Monitoring blijft wel verder lopen.

Plaat van Walsoorden

Stortingen kunnen voortgezet worden als voorheen. De focus wordt gelegd op het bestorten van de westelijke flank van deze plaatrand.

Schaar van de Spijkerplaat (SN11)

Stortingen kunnen voortgezet worden als voorheen.

Everingen (SN31)

Stortingen kunnen voortgezet worden als voorheen. Er wordt, rekening houdend met de randvoorwaarden voor de ankerplaatsen, zo veel mogelijk gespreid gestort zowel in het westelijke deel (noordrand Suikerplaat) als de meer oostelijke zone binnen SN31.

Middelgat (SN41), Schaar van Waarde (SN51) en Schaar van de Noord (SN61)

Uit voorzorgsprincipe wordt niet gestort. Monitoring blijft wel verder lopen.

Stortzones hoofdgeul

Stortingen in de zones SH41, SH51, SH61 en SH71 kunnen blijven doorgaan.

5. Bijlagen

- Bijlage 1. Rapport “Monitoring meergeulensysteem Westerschelde – Toetsing criteria nevengeulen”, opgemaakt door Rijkswaterstaat Zeeland
- Bijlage 2. Overzichtsfiguur Ecotopenkaart 2020
- Bijlage 3. Presentatie WL ‘WL2021R00_031_39_Opvolgingsrapport 18 – Periode januari 2020 – januari 2021’, 18 juni 2021
- Bijlage 4. Rapport ‘Opvolging Effecten Flexibel Storten – Datarapportage 2019’, opgemaakt door Rijkswaterstaat op 10 april 2019
- Bijlage 5. Memo Toelichting Resultaten Toetsing criterium sedimentatie-erosie plaatranden, opgemaakt door Rijkswaterstaat op 17 mei 2019
- Bijlage 6. Statusrapport IMDC